

Fig. 1.1. Spatial distribution of maximum annual cumulative duration of heat waves/warm spells detected based on mean+5 °C
 Distribuția spațială a duratei cumulate maxime anuale a valurilor de căldură/periodelor calde detectate pe baza mediei+5 °C

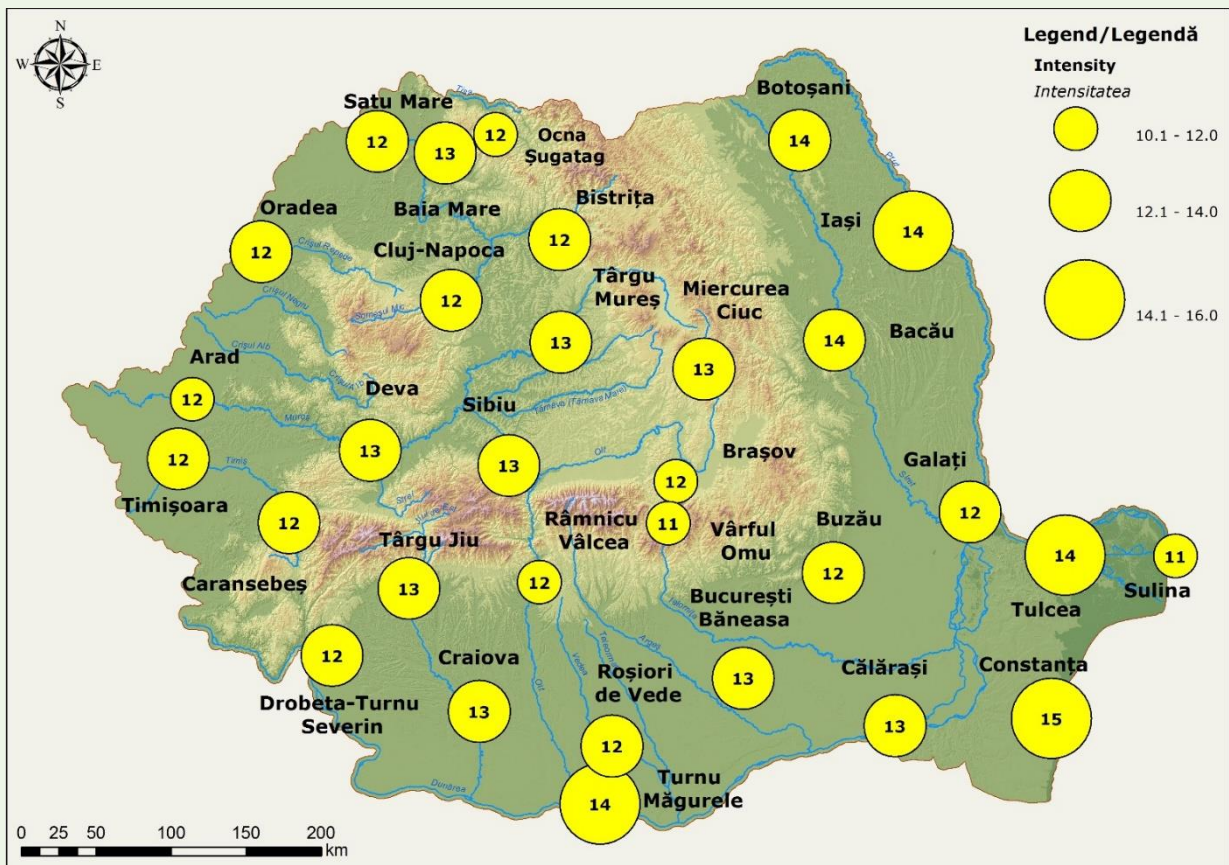


Fig. 1.2. Spatial distribution of maximum annual intensity of heat waves/warm spells detected based on mean+5 °C
 Distribuția spațială a intensității maxime anuale a valurilor de căldură/periodelor calde detectate pe baza mediei+5 °C

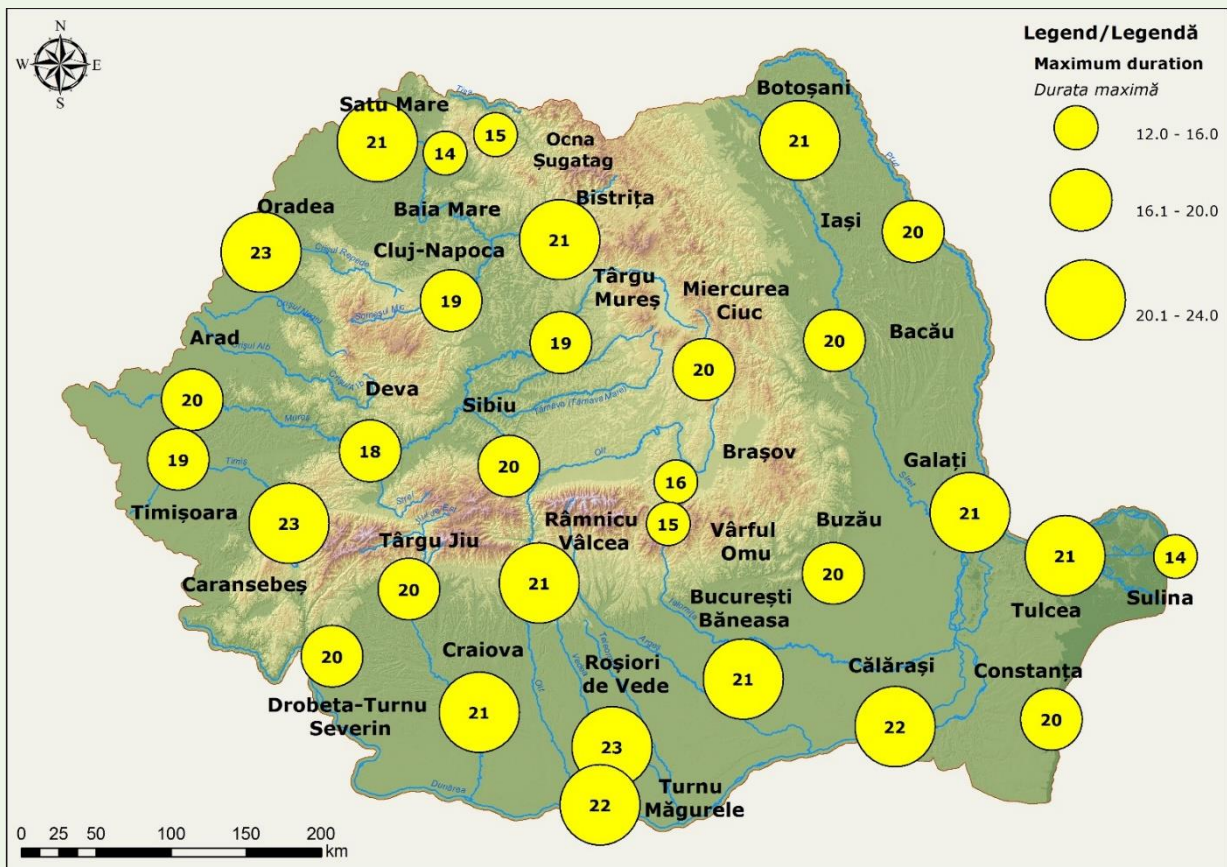


Fig. 1.3. Spatial distribution of maximum annual duration of heat waves/warm spells detected based on mean+5 °C
 Distribuția spațială a duratei maxime anuale a valurilor de căldură/perioadelor calde detectate pe baza mediei+5 °C

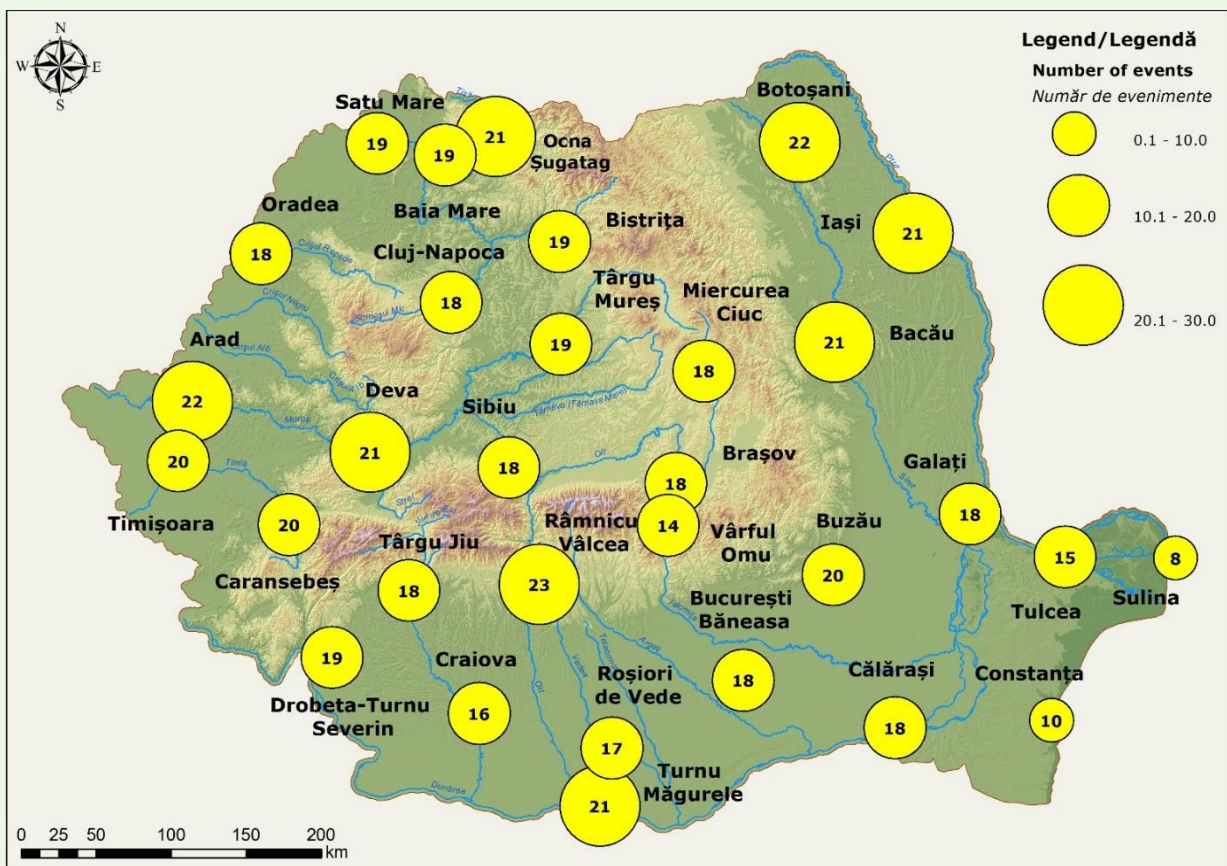


Fig. 1.4. Spatial distribution of maximum annual number of heat waves/warm spells detected based on mean+5 °C
 Distribuția spațială a numărului maxim anual al valurilor de căldură/perioadelor calde detectate pe baza mediei+5 °C

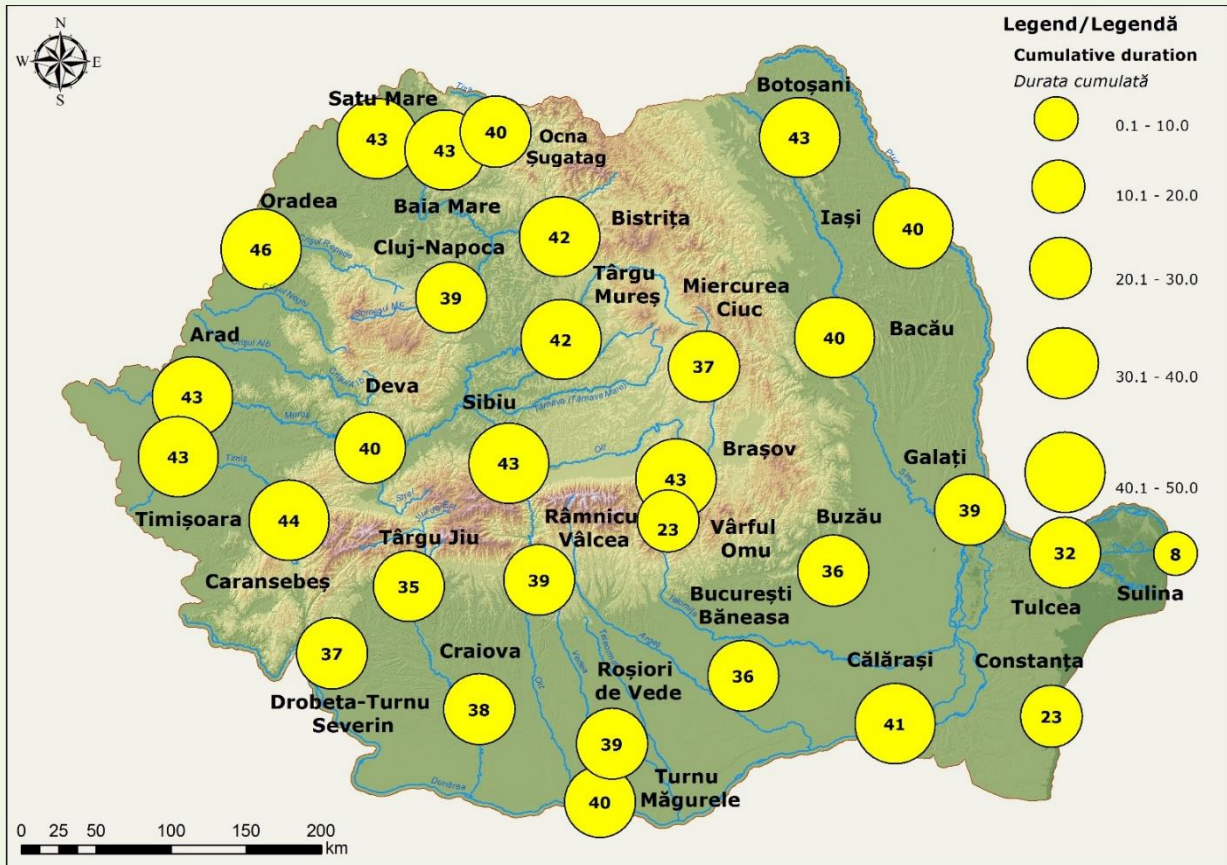


Fig. 1.5. Spatial distribution of mean annual cumulative duration of heat waves/warm spells detected based on mean+5 °C
 Distribuția spațială a duratei cumulate medii anuale a valurilor de căldură/periodelor calde detectate pe baza mediei+5 °C

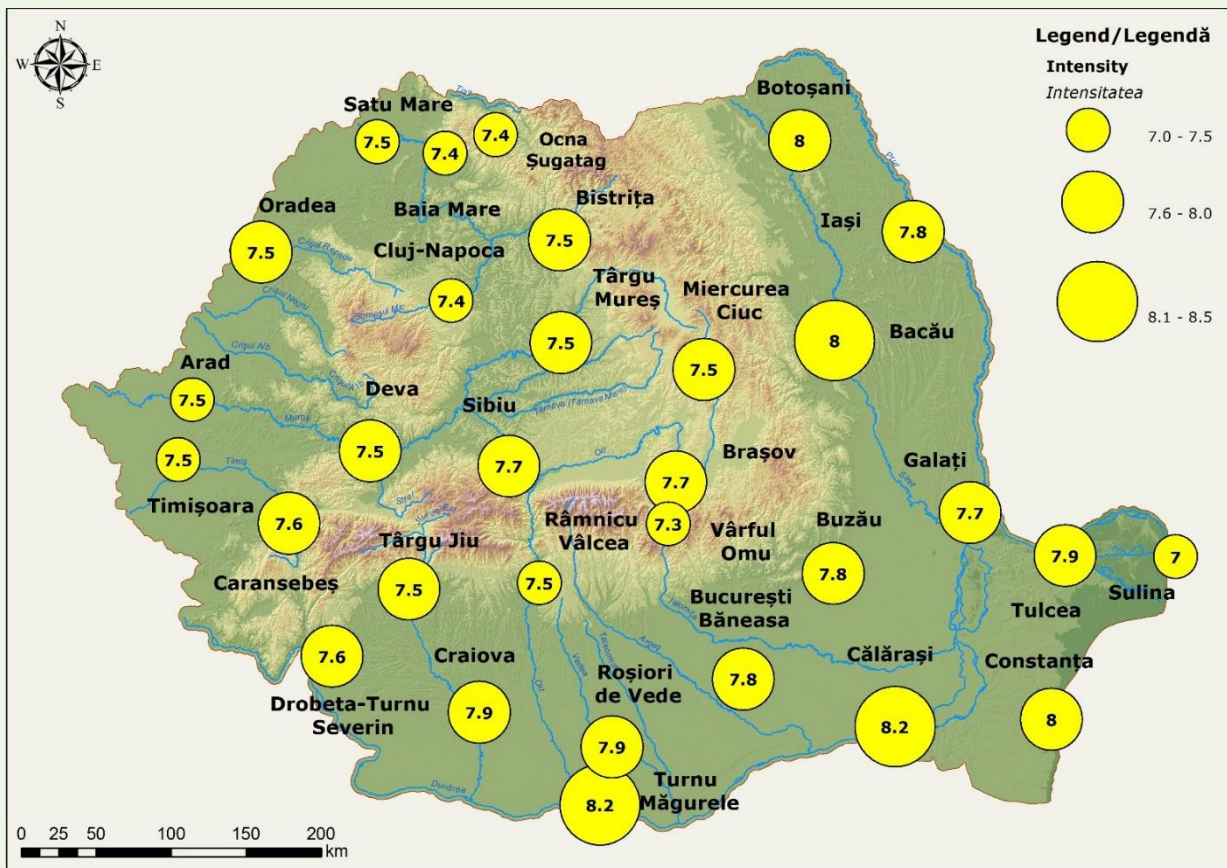


Fig. 1.6. Spatial distribution of mean annual intensity of heat waves/warm spells detected based on mean+5 °C
 Distribuția spațială a intensității medii anuale a valurilor de căldură/periodelor calde detectate pe baza mediei+5 °C

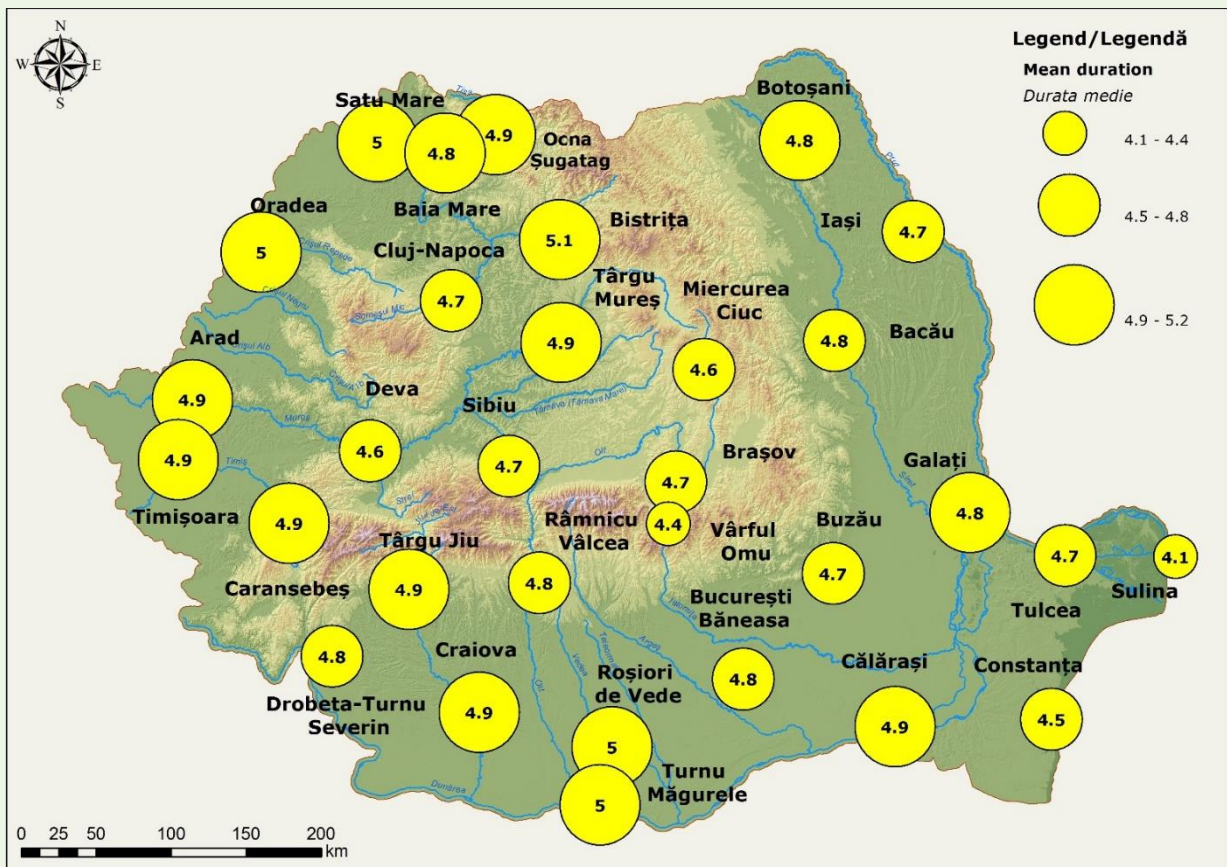


Fig. 1.7. Spatial distribution of mean annual duration of heat waves/warm spells detected based on mean+5 °C
 Distribuția spațială a duratei medii anuale a valurilor de căldură/periodelor calde detectate pe baza mediei+5 °C

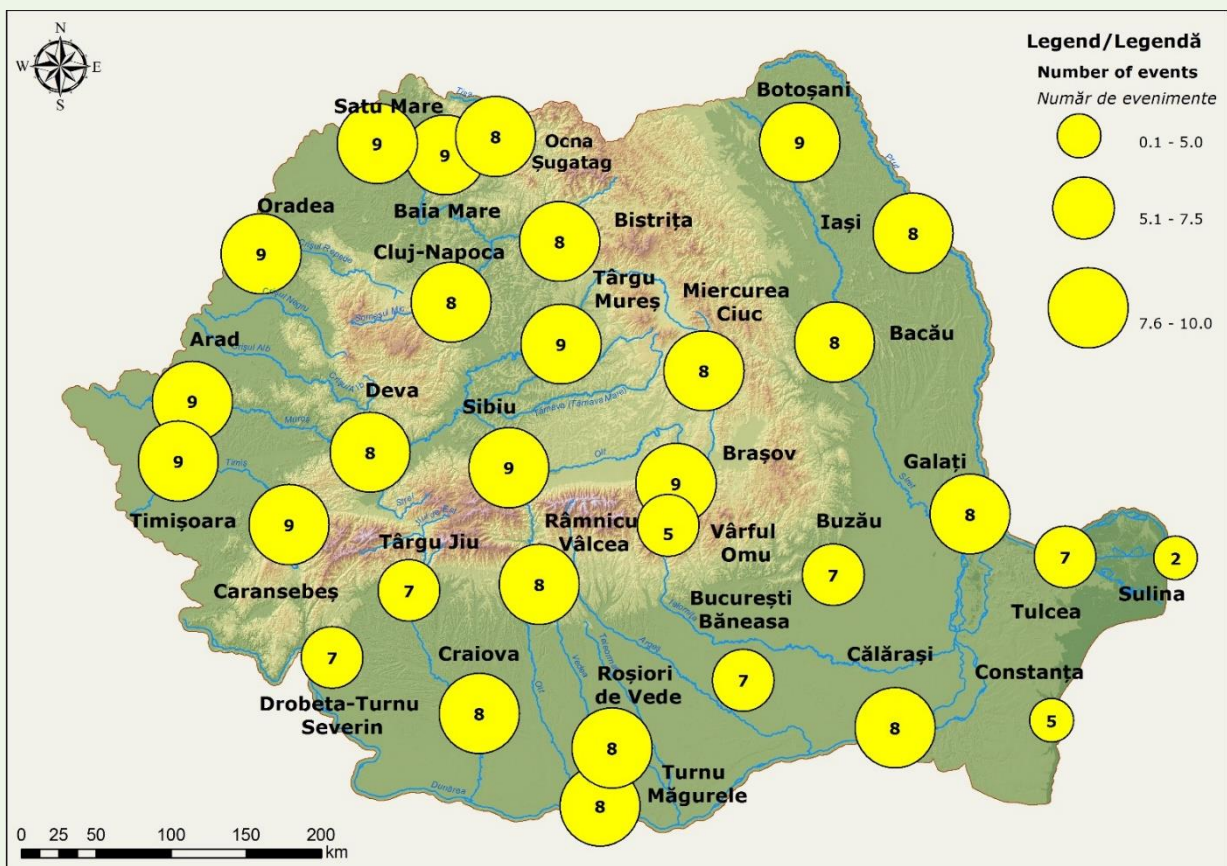


Fig. 1.8. Spatial distribution of mean annual number of heat waves/warm spells detected based on mean+5 °C
 Distribuția spațială a numărului mediu anual al valurilor de căldură/periodelor calde detectate pe baza mediei+5 °C